

1 **Material suplementar (*Supplementary Material*)**

- 2 Tabela S1 – Escolha individual de reforçadores durante o teste de preferência alimentar com bugios-  
 3 ruivos sob cuidados profissionais no Projeto Bugio/ CEPESBI.

<b>Indivíduo</b>	<b>Nº de escolhas de Banana c/ farinha láctea</b>	<b>Nº de escolhas de Ração</b>	<b>Reforço preferido</b>
1	5	0	Banana c/ farinha láctea
2	5	0	Banana c/ farinha láctea
3	5	0	Banana c/ farinha láctea
4	4	1	Banana c/ farinha láctea
5	5	0	Banana c/ farinha láctea
6	5	0	Banana c/ farinha láctea
7	2	3	Ração
8	4	1	Banana c/ farinha láctea
9	5	0	Banana c/ farinha láctea
10	5	0	Banana c/ farinha láctea
11	1	4	Ração
12	0	5	Ração
13	5	0	Banana c/ farinha láctea
14	2	3	Ração
15	4	1	Banana c/ farinha láctea
16	5	0	Banana c/ farinha láctea
17	0	5	Ração
18	0	5	Ração
19	5	0	Banana c/ farinha láctea
20	5	0	Banana c/ farinha láctea
21	0	5	Ração
22	5	0	Banana c/ farinha láctea
23	5	0	Banana c/ farinha láctea

4 Tabela S2 – Médias, medianas, desvio padrão e erro padrão representativos para cada etapa do treinamento  
 5 considerando os indivíduos que **viviam sozinhos** (S; n = 10) e com **coabitantes** (C; n = 13) de *A. guariba*  
 6 no Projeto Bugio/ CEPESBI e o **número de repetições** executados que emitiram a resposta correta até  
 7 atingir o critério de aprendizagem para cada etapa, resultado do teste não paramétrico de Mann-Whitney e  
 8 Wilcoxon para amostras independentes (u) e valor de *p*.

<b>Presença de outro indivíduo no recinto</b>	<b>N</b>	<b>Média Número de repetições</b>	<b>Mediana</b>	<b>Desvio-padrão</b>	<b>Erro-padrão</b>	<b>U de Mann-Whitney</b>	<b><i>p</i></b>
<b>Etapa 2</b>	S: 10	3.0	3.0	0.0	0.0	50.0	0.124
	C: 13	3.2	3.0	0.44	0.12		
	<b>N</b>	<b>Média</b>	<b>Mediana</b>	<b>Desvio-padrão</b>	<b>Erro-padrão</b>	<b>U de Mann-Whitney</b>	<b><i>p</i></b>
<b>Etapa 3</b>	S: 10	4.3	3.0	2.0	0.63	61.5	0.837
	C: 13	5.3	3.0	4.2	1.16		
	<b>N</b>	<b>Média</b>	<b>Mediana</b>	<b>Desvio-padrão</b>	<b>Erro-padrão</b>	<b>U de Mann-Whitney</b>	<b><i>p</i></b>
<b>Etapa 4</b>	S: 10	3.6	3.0	1.1	0.34	52.0	0.410
	C: 13	4.4	4.0	2.9	0.83		

9

10

11 Tabela S3 – Médias, medianas, desvio padrão e erro padrão representativos para cada etapa do treinamento  
 12 considerando os indivíduos que **viviam sozinhos** (S; n = 10) e com **coabitantes** (C; n = 13) de *A. guariba*  
 13 no Projeto Bugio/ CEPESBI e o valor médio de **latência** em cada etapa, resultado do teste não paramétrico  
 14 de Mann-Whitney e Wilcoxon para amostras independentes (u) e valor de *p*.

Presença de outro indivíduo no recinto	N	Média Latência	Mediana	Desvio-padrão	Erro-padrão	U de Mann-Whitney	<i>p</i>
<b>Etapa 2</b>	S: 10	45.4	17.5	55.9	17.7	54.0	0.515
	C: 13	42.9	28.3	39.9	11.1		
	N	Média	Mediana	Desvio-padrão	Erro-padrão	U de Mann-Whitney	<i>p</i>
<b>Etapa 3</b>	S: 10	34.2	34.7	5.01	1.58	61.5	0.852
	C: 13	68.2	33.3	82.0	22.7		
	N	Média	Mediana	Desvio-padrão	Erro-padrão	U de Mann-Whitney	<i>p</i>
<b>Etapa 4</b>	S: 10	62.4	62.3	7.25	2.29	38.0	0.100
	C: 13	47.4	48.8	28.6	7.93		

15

16

17 Tabela S4 – Médias, medianas, desvio padrão e erro padrão representativos para cada etapa do treinamento  
 18 considerando os indivíduos **adultos** (A; n = 16) e **juvenis** (J; n = 7) de *A. guariba* no Projeto Bugio/  
 19 CEPESBI e o **número de repetições** executados que emitiram a resposta correta até atingir o critério de  
 20 aprendizagem para cada etapa, resultado do teste não paramétrico de Mann-Whitney e Wilcoxon para  
 21 amostras independentes (u) e valor de *p*.

<b>Faixa etária</b>	<b>N</b>	<b>Média Número de repetições</b>	<b>Mediana</b>	<b>Desvio-padrão</b>	<b>Erro-padrão</b>	<b>U de Mann-Whitney</b>	<b><i>p</i></b>
<b>Etapa 2</b>	J: 7	3.00	3.0	0.0	0.0	45.5	0.252
	A: 16	3.19	3.0	0.4	0.1		
	<b>N</b>	<b>Média</b>	<b>Mediana</b>	<b>Desvio-padrão</b>	<b>Erro-padrão</b>	<b>U de Mann-Whitney</b>	<b><i>p</i></b>
<b>Etapa 3</b>	J: 7	4.71	4.0	2.2	0.83	47.0	0.530
	A: 16	4.94	3.0	3.8	0.96		
	<b>N</b>	<b>Média</b>	<b>Mediana</b>	<b>Desvio-padrão</b>	<b>Erro-padrão</b>	<b>U de Mann-Whitney</b>	<b><i>p</i></b>
<b>Etapa 4</b>	J: 7	4.43	4.0	1.3	0.48	39.0	0.242
	A: 16	3.94	3.0	2.7	0.68		

22

23

24

25 Tabela S5 – Médias, medianas, desvio padrão e erro padrão representativos para cada etapa do treinamento  
 26 considerando os indivíduos **machos** (M; n = 13) e **fêmeas** (F; n = 10) de *A. guariba* no Projeto Bugio/  
 27 CEPESBI e o **número de repetições** executados que emitiram a resposta correta até atingir o critério de  
 28 aprendizagem para cada etapa, resultado do teste não paramétrico de Mann-Whitney e Wilcoxon para  
 29 amostras independentes (u) e valor de *p*.

Sexo	N	Média Número de repetições	Mediana	Desvio- padrão	Erro- padrão	Estatística	<i>p</i>
<b>Etapa 2</b>	F: 10	3.20	3.00	0.422	0.133	57.0	0.426
	M: 13	3.08	3.00	0.277	0.0769		
	N	Média	Mediana	Desvio- padrão	Erro- padrão	Estatística	<i>p</i>
<b>Etapa 3</b>	F: 10	5.80	3.50	4.66	1.47	56.5	0.583
	M: 13	4.15	3.00	1.86	0.517		
	N	Média	Mediana	Desvio- padrão	Erro- padrão	Estatística	<i>p</i>
<b>Etapa 4</b>	F: 10	4.50	3.50	3.37	1.07	58.0	0.669
	M: 13	3.77	3.00	1.17	0.323		

30

31

32 Tabela S6 – Médias, medianas, desvio padrão e erro padrão representativos para cada etapa do treinamento  
 33 considerando os indivíduos **machos** (M; n = 13) e **fêmeas** (F; n = 10) de *A. guariba* no Projeto Bugio/  
 34 CEPESBI e o valor médio de **latência** em cada etapa, resultado do teste não paramétrico de Mann-Whitney  
 35 e Wilcoxon para amostras independentes (u) e valor de *p*.

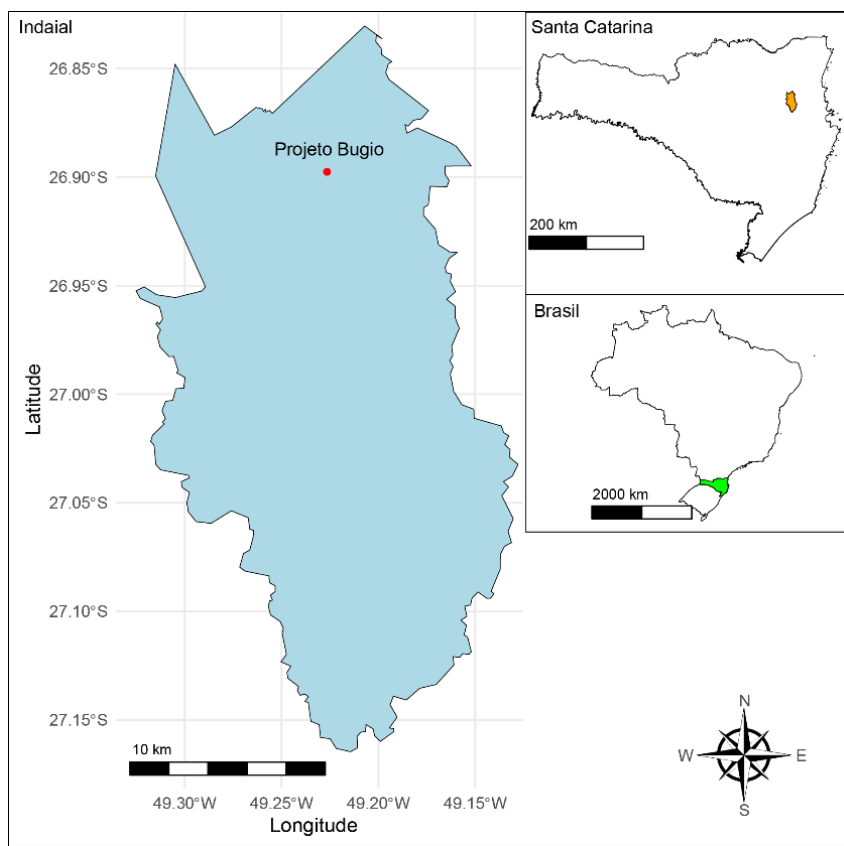
Sexo	N	Média Latência	Mediana	Desvio-padrão	Erro-padrão	U de Mann-Whitney	<i>p</i>
<b>Etapa 2</b>	F: 10	44.4	26.5	42.5	13.4	53.5	0.495
	M: 13	43.7	20.0	50.8	14.1		
	N	Média	Mediana	Desvio-padrão	Erro-padrão	U de Mann-Whitney	<i>p</i>
<b>Etapa 3</b>	F: 10	80.5	35.4	90.7	28.7	49.5	0.352
	M: 13	32.7	32.7	6.33	1.75		
	N	Média	Mediana	Desvio-padrão	Erro-padrão	U de Mann-Whitney	<i>p</i>
<b>Etapa 4</b>	F: 10	45.4	48.3	32.4	10.2	46.0	0.251
	M: 13	60.5	59.4	8.26	2.29		

36

37

38

39 Figura S1 – Localização do Projeto Bugio/CEPESBI no município de Indaial, Santa Catarina, Brasil.



40